

# مطالعه آزمایشگاهی تأثیر آسیا کنی گلوله‌ای بر ساختار و قدرت رنگبری بتنوئیت برای تولید خاک رنگبر

<sup>+</sup>\* سید محمد صادق حسینی\*

رفسنجان، دانشگاه ولی عصر (عج)، دانشکده فنی، گروه مهندسی شیمی

امیر صرافی

کرمان، دانشگاه شهید باهنر، دانشکده فنی، بخش مهندسی شیمی

مجید طهمورسی

کرمان، مرکز بین المللی علوم و تکنولوژی پیشرفته و علوم محیطی، پژوهشکده مواد

**چکیده:** در این پژوهش تأثیر آسیا کنی گلوله‌ای روی ساختار و قدرت رنگبری یک نمونه بتنوئیت استان کرمان بررسی شد. نمونه بتنوئیت به طور عمده شامل مونتموریلوئنیت و همچنین مقدار کمی ناخالصی بود. نمونه توسط یک آسیای گلوله‌ای پر انرژی آسیا شد و ویژگی‌های ساختاری آن به کمک روش‌های پراش پرتوایکس، فلورسانس پرتوایکس، طیف سنتجی تبدیل فوریه فروسرخ و میکروسکوپ الکترونی به دست آمد. توزیع اندازه ذره و همچنین مساحت سطح ویژه نیز به دست آمد. نتیجه‌ها نشان داد که بر اثر آسیا کنی گلوله‌ای، نظم و شکل بلوری رس تغییر کرده است. با افزایش زمان آسیا، شکستگی و بی‌نظمی‌های بیشتری در ساختار نمونه اتفاق افتاده است. افزون بر این، پس از آسیا کنی گلوله‌ای اندازه ذره‌های نانومتری نیز کم شده لیکن تا حدودی این ذره‌های بسیار ریز به هم چسبیده و مجتمع شده‌اند. بر اثر کاهش اندازه ذره‌های بتنوئیت، مساحت سطح ویژه آن نیز نسبت به حالت طبیعی افزایش یافته است. آزمایش رنگبری روغن به وسیله بتنوئیت آسیا شده و بتنوئیت اسیدی شده در یک فرایند ناپیوسته انجام گرفت و نتیجه‌ها نشان داد که هر دونمونه اصلاح شده قدرت بالای در رنگبری دارند. به همین دلیل با در نظر گرفتن شرایط آزمایشگاهی به کار رفته، روش آسیا کنی گلوله‌ای به منظور تولید خاک رنگبر پیشنهاد می‌شود.

**واژه‌های کلیدی:** بتنوئیت، مونتموریلوئنیت، آسیا کنی گلوله‌ای با انرژی زیاد، خاک رنگبر.

**KEY WORDS:** Bentonite, Montmorillonite, High energy ball mill, Bleaching earth.

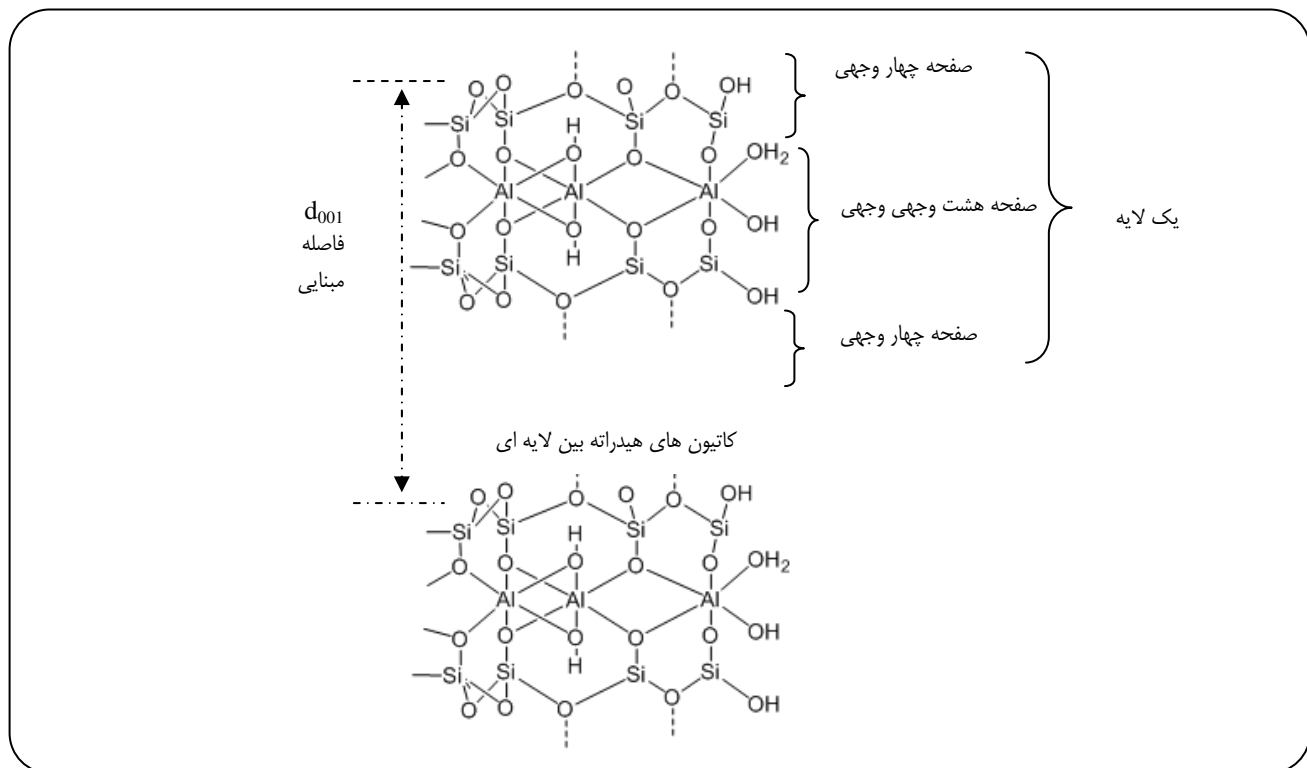
## مقدمه

افزون بر مونتموریلوئنیت به عنوان کانی اصلی، کانی‌های غیر رسی مانند کوارتز، فلدسپار، کلسیت، ژیپس و کانی‌های رسی دیگری مانند کائولینیت، ایلیت، و غیره یافت می‌شود [۱]. هر بتنوئیت

+E-mail: chehosseini@gmail.com

کانی اصلی تشکیل دهنده ماده معدنی بتنوئیت، مونتموریلوئنیت است. البته دیگر کانی‌های گروه اسماکتیت نیز می‌توانند از اجزای بتنوئیت باشند. به طور معمول در بتنوئیت استخراج شده

\* عهده دار مکاتبات



شکل ۱- نمایی از ساختار بلوری مونتموریلونیت.

به هنگام قرار گرفتن در آب شناسایی می‌شود. در این نمونه، کلسیم عمدۀ کاتیون بین لایه‌ای مونتموریلونیت است و به همین دلیل بنتونیت کلسیمی نام دارد [۳].

بنتونیت‌ها به دلیل داشتن ویژگی‌هایی مانند نرم بودن، تورم پذیری، سطح ویژه بالا، کلودی بودن، چسبندگی، جاذب بودن و غیره کاربردهای متنوعی در صنعت پیدا کرده‌اند [۱]. رنگبری روغن‌های خام خوارکی و یا صنعتی یکی از مهمترین کاربردهای بنتونیت است. در بیشتر موردها، کارهای فیزیکی و شیمیایی روی بنتونیت انجام گرفته و اغلب از بنتونیت فرآوری شده به عنوان خاک رنگبر استفاده می‌شود [۴].

پژوهش‌های گستره‌های در زمینه افزایش قدرت رنگبری بنتونیت‌ها انجام شده که از آن جمله می‌توان به عملیات اسیدی اشاره کرد. در بیشتر این فعالیتها، شرایط بهینه عملیاتی به منظور افزایش ویژگی‌های سطحی، قدرت جذب و بهبود ویژگی‌های کاتالیستی بنتونیت ارایه شده است. شرایط عملیاتی همچون غلظت اسید، زمان عملیات، دمای عملیات، نسبت بنتونیت به اسید و همچنین ویژگی‌هایی همچون کیفیت فرآورده از نظر راحتی صاف کردن در هنگام مصرف، اندازه ذره‌ها،

بسهنه به نوع کاربرد، به کیفیت و کمیت مونتموریلونیت آن بستگی دارد. مونتموریلونیت یک نوع آلومنینیم سیلیکات آبدار است که هر ذره آن از روی هم قرار گرفتن لایه‌هایی فشرده با نظمی مشخص تشکیل شده است. هر لایه شامل یک صفحه هشت وجهی با کاتیون با کاتیون اصلی آلومنینیم در میان دو صفحه چهار وجهی با کاتیون‌های اصلی سیلیسیم می‌باشد. در طبیعت ممکن است برخی از کاتیون‌های آلومنینیم سه ظرفیتی با کاتیون‌های دیگری با ظرفیت پایین‌تر مانند منیزیم جایه جا شوند. این پدیده باعث می‌شود مقداری بار منفی موازن نشده روی سطح لایه‌ها شکل گیرد. این بار منفی با جذب کاتیون‌هایی با قابلیت هیدراته شدن که به طور عمدۀ کلسیم و سدیم می‌باشند در بین لایه‌ها خنثی می‌شود [۲-۳]. شکل ۱ نمایی از ساختار بلوری مونتموریلونیت را نشان می‌دهد.

دو نوع عمدۀ بنتونیت شناسایی شده است. نوع اول آن که مقدار زیادی آب جذب کرده و متورم می‌شود و در سوسپانسیون‌های رقیق پایدار مانده و به صورت ژله‌ای در می‌آید. در این نمونه بنتونیت، سدیم عمدۀ کاتیون بین لایه‌ای مونتموریلونیت است و به همین دلیل بنتونیت سدیمی نام دارد. نوع دوم بنتونیتی است که کمتر از نوع اول آب جذب می‌کند و با نشست تند و تورم کم

### عملیات اسیدی

عملیات اسیدی بدین صورت انجام گرفت که ۵ گرم بنتونیت طبیعی درون بالن ریخته شده و سپس ۱۰۰ میلی لیتر هیدروکلریک اسید به آن اضافه شد. مخلوط بنتونیت و اسید با غلظت‌های متفاوت اسید (۲، ۴، ۶ و ۷ مولار) به مدت ۸ ساعت در دمای ۸۰ درجه سلسیوس هم زده شد. برای جلوگیری از تبخیر اسید و تعییر غلظت آن در زمان آزمایش از رفلاکس استفاده شد. پس از خاتمه واکنش محتوی بنتونیت و اسید داغ به مدت چند دقیقه خنک شده و توسط کاغذ صافی صاف شد. مواد روی کاغذ صافی چندین بار به وسیله آب مقطّر شسته شده و پس از هر بار شستن دوباره صاف شد تا کلیه یون‌های Cl<sup>-</sup> و کاتیون‌های (منیزیم، آلومینیم، آهن، کلسیم، سدیم) حل شده رس توسط اسید به طور کامل از مخلوط حذف شوند. نمونه‌های صاف شده جمع‌آوری شده و برای خشک شدن درون آون در دمای ۱۲۰ درجه سلسیوس به مدت ۶ ساعت قرار داده شدند.

### آفالیز ساختاری

آزمایش تورم بر طبق ASTM D5890 و تجزیه شیمیایی بنتونیت طبیعی به کمک دستگاه طیف سنجی فلورسانس پرتو ایکس (XRF) مدل Advantx ARL انجام گرفت. به منظور بررسی کانی شناسی و بلوری نمونه‌ها از دستگاه طیف سنج پراش اشعه ایکس (XRD) مدل Advanced BrukerD<sub>8</sub> در شرایط ۴۰ کیلوولت و ۳۰ میلی آمپر، مدل Cross Beater Mill SK100 درون آون و به سرعت یک درجه ۲۰ در هر دقیقه استفاده شد. طیف‌های فروسرخ نمونه‌ها به کمک دستگاه طیف سنج تبدیل فوریه فروسرخ (FTIR) مدل 10 IS Thermo Scientific به دست آمد.

توزیع اندازه ذره بر اساس تابع چگالی احتمال اندازه ذره و تابع توزیع تجمعی اندازه ذره، به روش اندازه‌گیری لیزری (LPSA) و به کمک دستگاه مدل 22 Fritsch Particle Sizer ANALYSETTE تغییر شدند. ظرفیت تعویض کاتیونی (CEC) نمونه‌ها، با استفاده از روش جذب کمپلکس اتیلن دی امین مس اندازه گیری شد [۱۷]. ریخت‌شناسی نمونه‌ها با عکس‌های میکروسکوپ الکترونی روبشی (SEM) و به کمک دستگاه Hitachi Japan S-4160 به دست آمد. سطح ویژه نمونه‌ها به کمک جذب نیتروژن و هم‌دمای BET به وسیله دستگاه BEL Japan, Inc. به دست آمد.

میزان نگهداری روغن و پایداری خاک در زمان نگهداری و انبار از مهمترین موضوع‌های این پژوهش‌ها می‌باشد [۱۱ - ۵].

اگرچه عملیات اسیدی در بیشتر مورددها به تولید یک فراورده خوب منجر می‌شود اما این عملیات وقت گیر و پر هزینه بوده و در غلظت‌های بالای اسید، زیان‌هایی برای محیط زیست دارد. به تازگی در تعدادی از مطالعه‌ها، تأثیر آسیای گلوله‌ای پر انرژی بر ذره‌های کانی‌های رسی بررسی شده است که بیشتر پژوهش‌ها روی تعییر ویژگی‌های ساختاری کائولینیت [۱۲]، تالک [۱۳]، و البته در موردهایی روی موتموریلینیت [۱۴، ۱۵] است. ولی در هیچ‌کدام بر روی رنگبری پژوهش انجام نشده است.

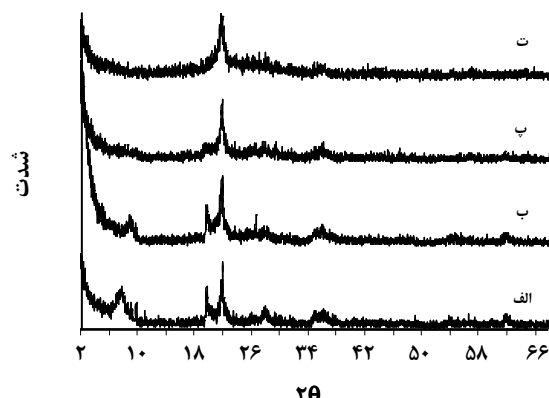
هدف از این پژوهش آن است که از یک نمونه بنتونیت استان کرمان (معدن خیر آباد) به کمک آسیای گلوله‌ای با انرژی زیاد و بدون عملیات اسیدی، خاک رنگبر با کارایی و کیفیت مطلوب به دست آید.

### بخش تجربی نمونه برداری

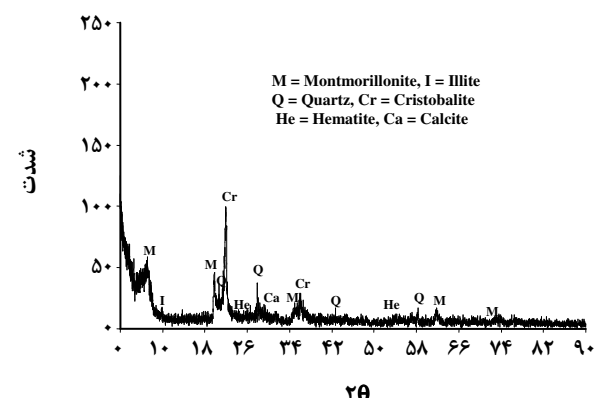
ابتدا یک نمونه بنتونیت از معدن خیر آباد استان کرمان تهیه شد. طبق ارزیابی‌های انجام گرفته بنتونیت این معدن بهترین کیفیت را نسبت به دیگر معادن استان کرمان دارد و بنتونیت آن دارای ۶۵ درصد موتموریلینیت است [۱۶، ۱۷]. نمونه به دست آمده به وسیله سنگ شکن ساده‌ای مورد خردایش قرار گرفته و سپس آسیا شد به طوری که به تقریب ۸۰ درصد نمونه نرم شده از الک ۲۰۰ مش (۷۴ میکرون) عبور کردند. در این پژوهش از آسیای مدل Cross Beater Mill SK100 استفاده شد. نمونه پودر شده درون آون و به مدت ۱۲ ساعت در دمای ۱۱۰ درجه سانتیگراد قرار گرفت تا به طور کامل خشک شود.

### آسیا کنی گلوله‌ای

به منظور انجام آسیا کنی گلوله‌ای، از آسیای گلوله‌ای با حرکت سیارهای مدل Fritsch-p6, Germany و با سرعت ۵۰۰ دور بر دقیقه استفاده شد. جرم ماده ریخته شده در آسیای گلوله‌ای ۳۰ گرم بوده و همچنین اندازه قطر گلوله‌ها (یک سانتیمتر) و تعداد آنها (۱۰ عدد) برای همه آزمایش‌ها یکسان در نظر گرفته شد. شایان گفتن است در این مقاله بنتونیت نرم شده با آسیای معمولی با واژه بنتونیت طبیعی و بنتونیت تحت تأثیر آسیای گلوله‌ای با واژه بنتونیت آسیا شده شناخته می‌شوند.



شکل ۳- الگوهای پراش اشعه ایکس بنتونیت (الف) طبیعی ،  
ب) ۳۰ دقیقه آسیا (پ) ۶۰ دقیقه آسیا ، ت) ۱۲۰ دقیقه آسیا



شکل ۲- الگوی پراش اشعه ایکس بنتونیت طبیعی.

### تأثیر آسیا کنی گلوله‌ای

شکل ۳ نتیجه‌های پراش اشعه ایکس نمونه در زمان‌های گوناگون آسیای گلوله‌ای را نشان می‌دهد. عملیات شدید مکانیکی توسط آسیای گلوله‌ای، بلورهای مونتموریلونیت را دچار دگرگونی‌های ویژه‌ای می‌کند. همان‌گونه که از الگوهای پراش مشخص است، شدت پیک ۱۰۰ که مشخصه اصلی بلوری و نظم لایه‌ای مونتموریلونیت می‌باشد با افزایش زمان آسیای گلوله‌ای در حال کاهش است و پس از ۲ ساعت آسیای گلوله‌ای این پیک به تقریب از بین رفته است. این کاهش شدت همراه با افزایش پهنانی پیک بوده است. همچنین با افزایش زمان آسیای گلوله‌ای، شدت پیک‌های مربوط به نظم صفحه‌های هشت وجهی و چهار وجهی نیز در حال کاهش است که این موضوع نشان دهنده تغییر ایجاد شده در ساختار لایه‌های (۲:۱) مونتموریلونیت و گسستگی آنها است. البته عکس‌های میکروسکوپ الکترونی، (شکل ۱۰) تأییدی بر این نتیجه است. جدول ۱ برخی ویژگی‌های بلوری مونتموریلونیت در زمان‌های گوناگون آسیای گلوله‌ای را نشان می‌دهد.

این نتیجه‌ها بیانگر کاهش مرتبه بلوری و بی ثباتی‌های ساختاری مونتموریلونیت پس از آسیای گلوله‌ای است. همچنین بعد از ۲ ساعت آسیای گلوله‌ای، تغییر ایجاد شده در الگوهای پراش اشعه ایکس در زاویه‌های بین ۲۰ تا ۳۰ درجه ۲θ تا حدودی نشان دهنده آمورف شدن ساختار مونتموریلونیت است. تنها پیکی که دستخوش تغییرهای آنچنانی نشده مربوط به کانی کریستوبالیت است و میزان تورم بالای آن که بنتونیت تهیه شده از نوع سدیمی است و میزان تورم بالای آن که ۲۵ میلی لیتر در ۲ گرم رس خشک است نیز این مسئله را تأیید می‌کند.

### نتایج و بحث

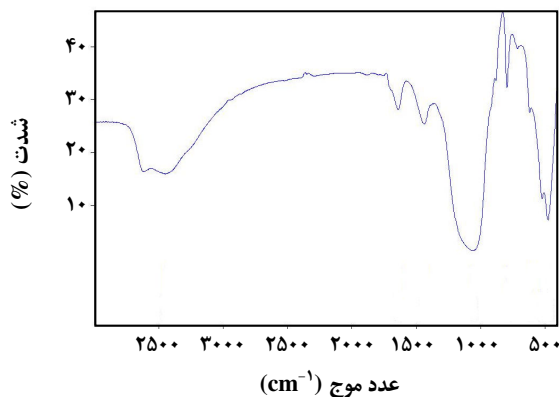
#### ارزیابی بنتونیت طبیعی

الگوی پراش اشعه ایکس بنتونیت طبیعی در شکل ۲ نشان داده شده است.

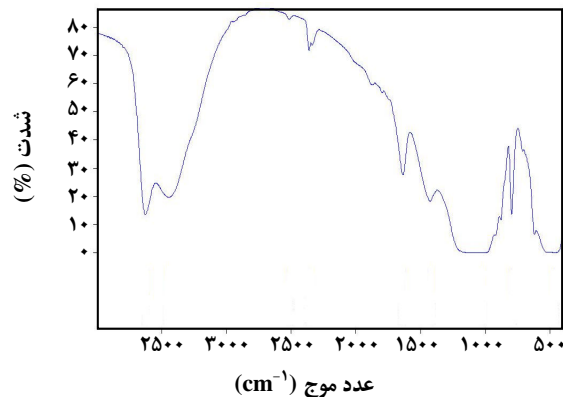
در این نمونه، به همراه مونتموریلونیت مقداری ایلیت، کوارتز، کریستوبالیت، هماتیت و کلسیت وجود دارد. تجزیه شیمیایی بنتونیت طبیعی در ردیف اول جدول ۳ آورده شده است. درصد سدیم نمونه بیشتر از کلسیم آن است و این بیان می‌کند که بنتونیت تهیه شده از نوع سدیمی است و میزان تورم بالای آن که ۲۵ میلی لیتر در ۲ گرم رس خشک است نیز این مسئله را تأیید می‌کند.

جدول ۱- ویژگی‌های بلوری پیک ۰۰۱ مونتموریلونیت.

زمان (دقیقه)	۰ دقیقه	۳۰ دقیقه	۶۰ دقیقه	۱۲۰ دقیقه
شدت پیک (counts)	۴۵۶	۳۱۷	۱۰۲	۲۵
موقعیت پیک (2θ)	۷/۹	۸/۳	۸/۷	۸/۹
فاصله مبنایی d <sub>001</sub> (nm)	۱/۱۱	۱/۰۱	۰/۹۶	۰/۹۱



شکل ۵- طیف فروسرخ بنتونیت دو ساعت آسیا شده.



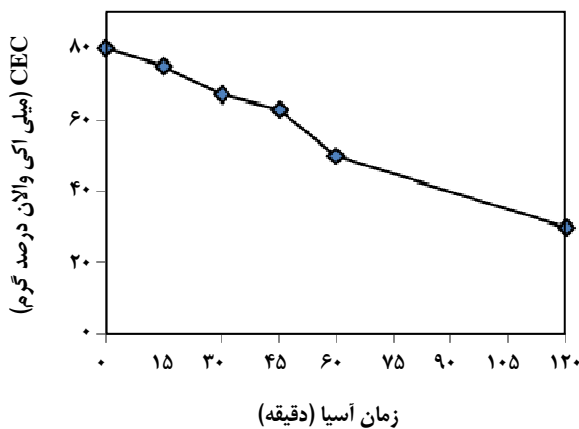
شکل ۴- طیف فروسرخ بنتونیت طبیعی.

در نمونه آسیا شده با آسیای گلوله‌ای، پیک  $3625\text{ cm}^{-1}$  به علت از پیوند OH با کاتیون‌های صفحه اکتا هدرال و پیک  $1640\text{ cm}^{-1}$  به علت H-OH کاهش یافته است. این مطلب به علت ضعیف شدن پیوند گروه‌های هیدروکسیل است. شدت پیک  $621\text{ cm}^{-1}$  که معرف اتصال Al-O-Al در صفحه هشت وجهی است نیز کاهش یافته که نشان می‌دهد آسیای گلوله‌ای باعث تخریب صفحه هشت وجهی شده است. پیک  $522\text{ cm}^{-1}$  که مربوط به اتصال Si-O-Al است تا حدودی کاهش یافته است. این نتیجه نشان می‌دهد که بین نظمی‌ها و گستگی‌های بین صفحه چهار وجهی و صفحه هشت وجهی لایه‌های ۲ به ۱ مونتموریلونیت اتفاق افتاده است. این مطلب نشان دهنده کاهش تناوب عمودی لایه‌های مونتموریلونیت در جهت ۰۰۱ است.

شکل‌های ۶ و ۷ تغییرهای اندیس تورم و ظرفیت تعویض کاتیونی (CEC) نمونه را در زمان‌های گوناگون آسیای گلوله‌ای نشان می‌دهد.

همان گونه که دیده می‌شود با افزایش زمان آسیا تورم نمونه کاهش می‌یابد. ذره‌های مونتموریلونیت در حالت اولیه به مقدار زیادی آب جذب می‌کنند به طوری که بعد از ۲۴ ساعت اندیس تورم آن به ۲۵ میلی لیتر در ۲ گرم رس خشک رسیده است. اما وقتی رس

شکل‌های ۴ و ۵ طیف‌های فروسرخ بنتونیت طبیعی و بنتونیت پس از ۲ ساعت آسیای گلوله‌ای را نشان می‌دهد. طیف‌های فروسرخ بیانگر تغییرهای ساختاری مونتموریلونیت پس از آسیا کنی گلوله‌ای است. در طیف‌های فروسرخ بنتونیت طبیعی پیک‌های  $3625\text{ cm}^{-1}$  مربوط به گروه‌های هیدروکسیلی هستند که با کاتیون‌های  $3448\text{ cm}^{-1}$  و  $1640\text{ cm}^{-1}$  مربوط به پیوند H-OH ناشی از ملکول‌های آب جذب شده در سطوح مونتموریلونیت است. پیک  $1039\text{ cm}^{-1}$  مربوط به پیوند Si-O-Si در صفحه چهار وجهی مونتموریلونیت است. پیک  $917\text{ cm}^{-1}$  مربوط به گروه  $\text{AlAlOH}$  صفحه هشت وجهی مونتموریلونیت است. البته پیک  $875\text{ cm}^{-1}$  و پیک  $836\text{ cm}^{-1}$  نیز دیده می‌شود که مربوط به گروه  $\text{AlFeOH}$  صفحه هشت وجهی و گروه  $\text{AlMgOH}$  صفحه هشت وجهی مونتموریلونیت می‌شود که نشان می‌دهد افزون بر آلومنینیم، تعدادی از کاتیون‌های منیزیم و آهن نیز در صفحه هشت وجهی وجود دارد. پیک  $621\text{ cm}^{-1}$  مربوط به پیوند Al-O-Al صفحه هشت وجهی مونتموریلونیت و پیک  $522\text{ cm}^{-1}$  مربوط به پیوند Si-O-Al و نشان دهنده اتصال صفحه چهار وجهی و صفحه هشت وجهی مونتموریلونیت است.

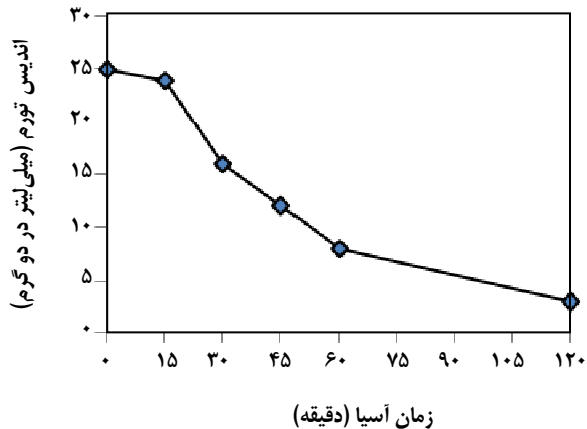


شکل ۷ - تغییر ظرفیت تعویض کاتیونی بنتونیت در زمان‌های گوناگون آسیای گلوله‌ای.

ذره‌های زیر ۲۰ میکرون بسیار افزایش یافته است. قطر متوسط جرمی در این حالت به ۴۵۶ میکرون رسیده است. تعدادی از پارامترهای استاندارد استخراج شده از نمودارهای توزیع اندازه ذره به کمک لیزر در جدول ۲ خلاصه شده است.

جدول ۲ نشان می‌دهد در بنتونیت طبیعی، ۱۰ درصد حجمی ذره‌ها زیر ۰.۹۵۵ میکرون هستند ولی در بنتونیت آسیا شده ۱۰ درصد حجمی ذره‌ها زیر ۰.۸۰۵ میکرون می‌باشند. این مسئله نشان می‌دهد که ریز شدن ذره‌ها در اندازه‌های زیر میکرونی نیز اتفاق افتاده است که این مطلب در عکس‌های میکروسکوپ الکترونی نیز نشان داده شده است. ۵۰ درصد ذره‌های بنتونیت طبیعی زیر ۰.۷۱۶ میکرون هستند ولی ۵۰ درصد ذره‌های بنتونیت آسیا شده زیر ۰.۷۱۶ می‌باشند. ۹۰ درصد ذره‌های بنتونیت طبیعی زیر ۰.۹۳۸ میکرون اندازه دارند و این درحالی است که ۹۰ درصد ذره‌های بنتونیت آسیا شده با آسیای گلوله‌ای، زیر ۰.۸۷۲ میکرون قرار دارند. نسبت سطح به حجم بنتونیت طبیعی ۲/۲۷۵ متر مربع بر سانتیمتر مکعب است ولی این نسبت برای بنتونیت در اثر آسیای گلوله‌ای به ۳/۷۱۲ متر مربع بر سانتیمتر مکعب رسیده است که بر افزایش سطح ذره‌های بنتونیت آسیا شده دلالت دارد.

شکل ۱۰ که شامل دو قسمت الف و ب است، مقایسه عکس‌های میکروسکوپ الکترونی روبشی (SEM) بنتونیت طبیعی (سمت راست) و بنتونیت آسیا شده به مدت ۱۲۰ دقیقه (سمت چپ) را نشان می‌دهد. هر قسمت مربوط به یک بزرگنمایی خاص است. مقایسه شکل‌ها نشان دهنده تغییر شکل و البته ریزتر شدن ذره‌های بنتونیت بعد از آسیا کنی گلوله‌ای است. ریزتر شدن ذره‌ها در اندازه‌های گوناگونی



شکل ۶ - تغییر اندیس تورم بنتونیت در زمان‌های گوناگون آسیای گلوله‌ای.

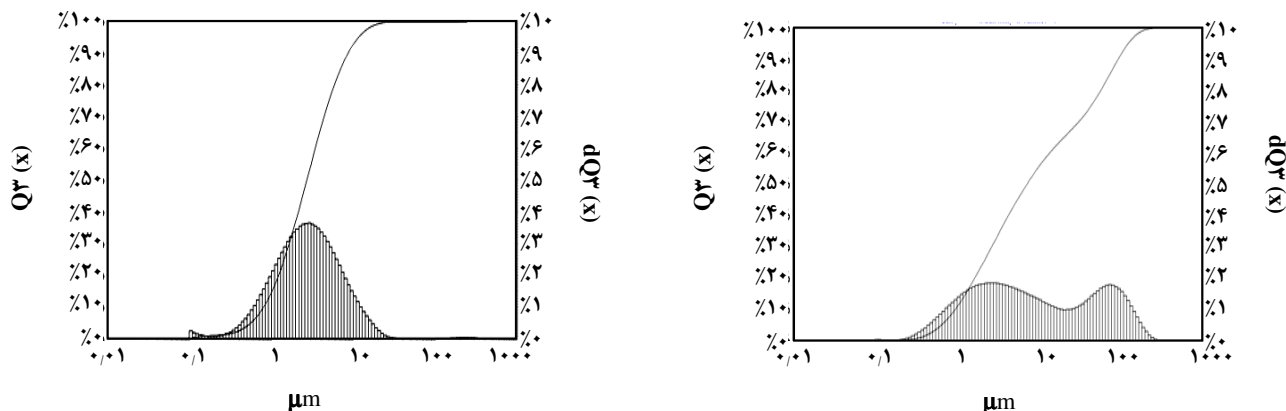
تحت تأثیر آسیای گلوله‌ای با انرژی بالا قرار می‌گیرد، قدرت جذب آب آن کاهش می‌باید به طوری که بعد از ۲ ساعت آسیای گلوله‌ای اندیس تورم آن به عدد ۳ رسیده است. ظرفیت تعویض کاتیونی مونتموریلوینیت در حالت اولیه ۸۰ میلی اکی والان در ۱۰۰ گرم می‌باشد. عملیات شدید مکانیکی توسط آسیای گلوله‌ای باعث کاهش این ویژگی آن شده طوری که بعد از ۲ ساعت آسیا، به عدد ۳۰ رسیده است. بار منفی در رس‌ها ناشی از جانشینی‌های ایزو مورفی (بار دائمی) و یا شکسته شدن پیوندهای اطراف لبه‌های واحدهای آلومینا - سیلیکا (بار موقت) می‌باشد. عمدۀ بار منفی در مونتموریلوینیت بار دائمی و مربوط به جانشینی‌های انجام گرفته در رون بلوهای رس است. تخریب ساختار بلوری مونتموریلوینیت توسط آسیای گلوله‌ای باعث کاهش قدرت جذب آب و کاهش بار منفی دائمی رس می‌شود که نتیجه‌های تورم و ظرفیت تعویض کاتیونی (شکل‌های ۶ و ۷) نشان دهنده این موضوع است. شکل‌های ۸ و ۹ تابع چگالی احتمال اندازه ذره و تابع توزیع تجمعی اندازه ذره نمونه طبیعی و نمونه پس از ۲ ساعت آسیای گلوله‌ای را نشان می‌دهد.

تابع چگالی احتمال اندازه ذره بنتونیت طبیعی دارای گستردگی زیادی است و دارای دو مقدار بیشینه، یکی ۲۶۶ میکرون و دیگری ۹۳/۳۶ میکرون است. قطر متوسط جرمی ۲۶/۶۵ میکرون می‌باشد. تابع چگالی احتمال اندازه ذره بنتونیت آسیا شده (آسیای گلوله‌ای) به صورت توزیع نرمال در آمده است و یک بیشینه در ۳/۴۴ میکرون دیده می‌شود. از شکل مشخص است که ذره‌های بنتونیت آسیا شده ریزتر شده‌اند چنانچه که درصد حجمی

جدول ۲- پارامترهای استاندارد استخراج شده از نمودارهای توزیع اندازه ذره بتنوئیت طبیعی و بتنوئیت آسیا شده.

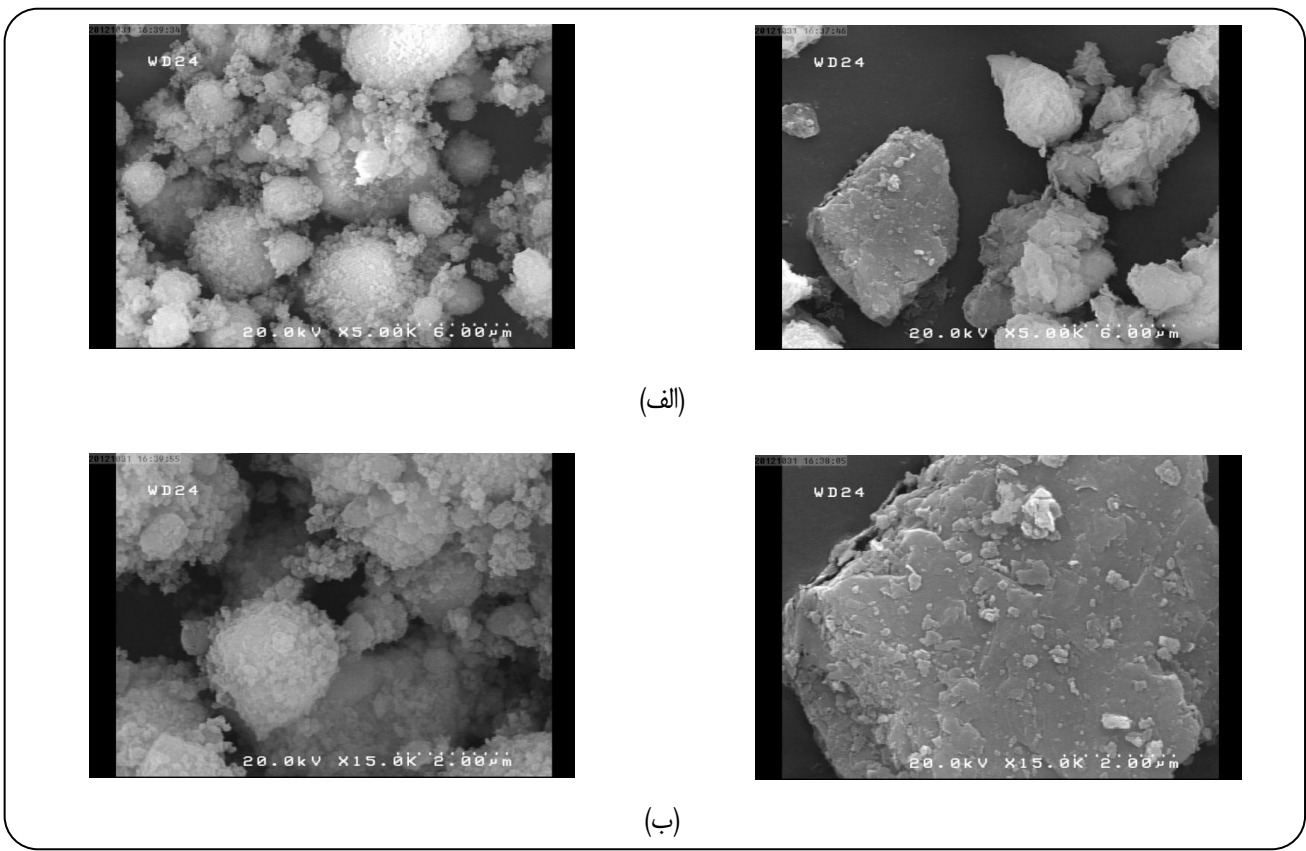
نمونه	$Q^3(x) [10\%]$	$Q^3(x) [50\%]$	$Q^3(x) [90\%]$	$M^3/cm^3$
طبیعی	۰,۹۵۵	۷,۱۶۹	۹۳,۷۸۷	۲,۲۷۵
آسیا شده	۰,۸۰۵	۲,۷۱۶	۸,۷۲	۳,۷۱۲

\* اندازه بر حسب میکرون است



شکل ۹- تابع چگالی احتمال اندازه ذره و تابع توزیع تجمعی اندازه ذره بتنوئیت آسیا شده به مدت ۲ ساعت.

شکل ۸- تابع چگالی احتمال اندازه ذره و تابع توزیع تجمعی اندازه ذره بتنوئیت طبیعی.



شکل ۱۰- عکس‌های میکروسکوپ الکترونی بتنوئیت (سمت راست) و بتنوئیت آسیا شده (سمت چپ).

جدول ۳- تجزیه شیمیایی بتنوئیت طبیعی و بتنوئیت‌های فعال شده با اسید در غلظت‌های گوناگون اسید (۴٪ و ۶٪ مولار).

نمونه	$\text{SiO}_2$	$\text{Al}_2\text{O}_3$	$\text{Fe}_2\text{O}_3$	$\text{MgO}$	$\text{CaO}$	$\text{Na}_2\text{O}$	$\text{K}_2\text{O}$	LOI*	CEC
طبیعی	۶۷,۳۲	۱۴,۹۲	۴	۲,۸	۱,۶۸	۲,۳۳	۰,۴۴	۵,۸۲	۸۰
۲ مولار	۷۱	۱۳,۷۶	۳,۸	۲,۳	۱,۵۴	۱,۸۶	۰,۴۳	۵,۵	۶۵
۴ مولار	۷۵,۵	۱۱,۹۳	۳,۵	۱,۶	۱,۴	۱,۴۸	۰,۴۱	۵,۲	۵۲
۶ مولار	۷۸	۱۰,۴	۲,۹	۱,۱	۱,۲۱	۰,۹۳	۰,۳۸	۵	۳۲

\*Loss on Ignition

لایه‌های ۲ به ۱ مونتموریلوئیت نیز حل می‌شوند. در اثر این فرایند تعداد زیادی گروههای فعال اسیدی (اعم از لوئیس و برونشتید) درون مونتموریلوئیت شکل می‌گیرد. درصدهای  $\text{CaO}$ ,  $\text{K}_2\text{O}$  و  $\text{Fe}_2\text{O}_3$  نیز کاهش یافته که نشان‌دهنده تأثیر اسید روی کانی‌های همراه مونتموریلوئیت در بتنوئیت است. رشد نسبی درصد  $\text{SiO}_2$  در بتنوئیت با توجه به افزایش غلظت اسید نشان می‌دهد که کاتیون‌های سیلیس صفحه چهار وجهی مونتموریلوئیت خیلی تحت تأثیر اسید قرار نمی‌گیرند. شکل ۱۲ شمایی از عملیات اسیدی بر روی مونتموریلوئیت را نشان می‌دهد.

جدول ۴ سطح ویژه نمونه طبیعی، نمونه آسیا شده و نمونه اسیدی شده را نشان می‌دهد. افزایش سطح ویژه بتنوئیت آسیا شده از  $53 \text{ m}^2/\text{g}$  به  $33 \text{ m}^2/\text{g}$  طور عمده مربوط به ریز شدن ذره‌ها است، در حالی که سطح ویژه در نمونه اسیدی شده  $194 \text{ m}^2/\text{g}$  است که به علت تشکیل حفره‌ها در اثر انحلال جزی ساختمان رس می‌باشد. این نتیجه بیان می‌کند که اصلاح ساختار رس در اثر آسیا کنی گلوله‌ای از طریق ریزتر شدن ذره‌ها و ایجاد پیوندهای شکسته انجام می‌شود.

#### ازیابی قدرت رنگبری

شکل ۱۳ درصد رنگبری نمونه در زمان‌های گوناگون آسیای گلوله‌ای را نشان می‌دهد.

با افزایش زمان آسیای گلوله‌ای، قدرت رنگبری بتنوئیت افزایش می‌یابد و پس از ۲ ساعت آسیای گلوله‌ای درصد رنگبری نمونه به ۸۰ درصد می‌رسد. این شکل بیان می‌کند عملیات شدید مکانیکی باعث اصلاح ساختار بتنوئیت به منظور رنگبری از روغن‌های خام گیاهی شده است. زیرا افزون بر شکسته شدن پیوندهای ساختاری مونتموریلوئیت و تشکیل مکان‌های فعال جذب، ریزتر شدن ذره‌ها نیز اتفاق افتاده و سطح ویژه افزایش می‌یابد. البته نکته بسیار مهم در این پژوهش کیفیت



شکل ۱۱- عکس میکروسکوپ الکترونی بتنوئیت آسیا شده (۱۲۰ دقيقه) با بزرگنمایی زياد.

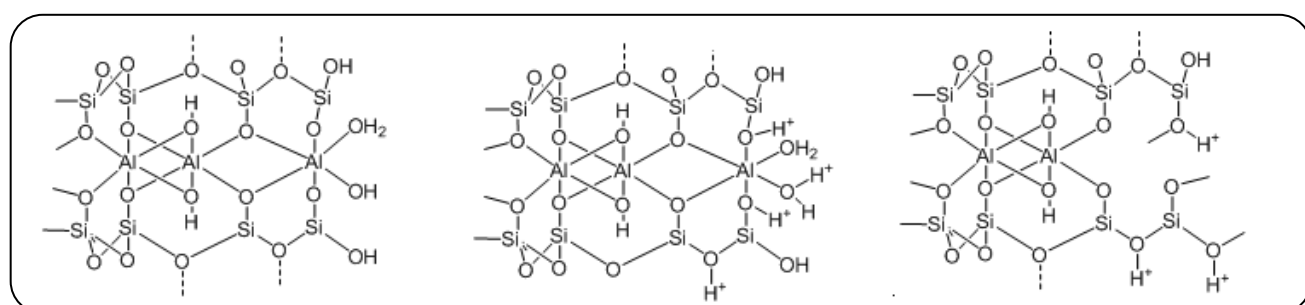
روی می‌دهد. مقایسه عکس‌ها، شکستگی‌های رخ داده روی لایه‌های مونتموریلوئیت در اثر آسیای گلوله‌ای را به خوبی نشان می‌دهد. تغییر شکل و کاهش نظم لایه‌ای به طور کامل قابل دیدن است. شکل ۱۱ عکس میکروسکوپ الکترونی رویشی با بزرگنمایی زیاد از نمونه آسیا شده را نشان می‌دهد. همان‌گونه که دیده می‌شود، پس از آسیا کنی گلوله‌ای، ذره‌هایی با اندازه‌های زیر ۱۰۰ نانو متر نیز تولید می‌شود. البته این ذره‌های ریز و تغییر شکل یافته تا حدودی به هم می‌چسبند

#### تأثیر عملیات اسیدی

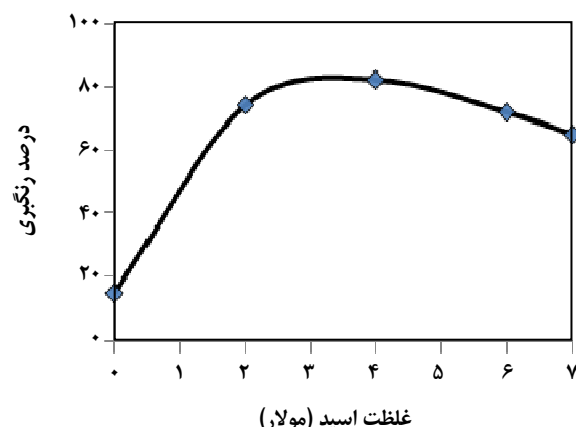
تجزیه شیمیایی بتنوئیت طبیعی و بتنوئیت‌های فعال شده با اسید در غلظت‌های گوناگون اسید در جدول ۳ خلاصه شده است مطابق جدول ۳، با افزایش غلظت اسید ظرفیت تعویض کاتیونی کاهش می‌یابد. این مسئله نشان دهنده آن است که کاتیون‌های بین لایه‌ای مونتموریلوئیت (به طور عمده سدیم) با یون‌های اسیدی تعویض شده است. کاهش درصد  $\text{Na}_2\text{O}$  نیز همین مسئله را تأیید می‌کند. کاهش درصد  $\text{MgO}$  و  $\text{Al}_2\text{O}_3$  با افزایش غلظت اسید نشان می‌دهد بخشی از کاتیون‌های صفحه‌های هشت وجهی

جدول ۴- سطح ویژه نمونه طبیعی و نمونه‌های آسیا شده (۲ ساعت) و اسیدی شده (۴ مولار).

نمونه	مساحت سطح ویژه $\text{m}^2/\text{g}$
بنتونیت طبیعی	۳۳
بنتونیت آسیا شده	۵۳
بنتونیت اسیدی شده	۱۹۴



شکل ۱۲- شماتیک از فعالسازی اسیدی مونتموریلونیت.

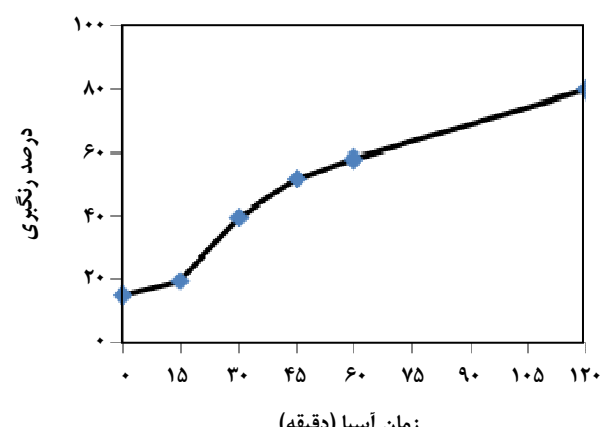


شکل ۱۴- درصد رنگبری بنتونیت اسیدی شده در غلظت‌های گوناگون اسید.

۴ مولار، تغییرهای ساختاری مونتموریلونیت نتیجه عکس روی رنگبری آن داشته است.

نکته چشمگیر این است که غلظت ۴ مولار اسید نیز غلظت بالایی است که فعالسازی اسیدی را در مقیاس اسیدی با مشکل روبرو می‌کند زیرا اثرهای بد زیستمحیطی فراوانی دارد و پر هزینه است. از سویی بیشترین میزان رنگبری بنتونیت پس از عملیات اسیدی در غلظت بهینه ۴ مولار، ۸۲ درصد بوده که این مقدار به تقریب نزدیک به قدرت رنگبری بنتونیت پس از ۲ ساعت آسیا گلوله است که ۸۰ درصد می‌باشد.

از طرفی در مقیاس صنعتی روش فعالسازی اسیدی شامل



شکل ۱۳- درصد رنگبری بنتونیت در زمان‌های گوناگون آسیا گلوله‌ای.

بنتونیت اولیه است زیرا هر نمونه بنتونیتی تحت آسیا گلوله‌ای ممکن است نتیجه دلخواه را نداشته باشد. شکل ۱۴ درصد رنگبری بنتونیت در اثر عملیات اسیدی را در علاظت‌های گوناگون اسید نشان می‌دهد

در شکل ۱۳، بیشترین درصد رنگبری برای نمونه‌ای است که تحت تأثیر اسید با غلظت ۴ مولار قرار گرفته است و این مقدار به ۸۲ درصد رسیده است. بعد از این با افزایش غلظت اسید، درصد رنگبری کاهش یافته است. در حقیقت اسید موجب افزایش سطح ویژه و مکان‌های فعال جذب درون مونتموریلونیت می‌شود که این تغییرها حالت بهینه داشته و با افزایش غلظت اسید بیش از

ویژه آن افزایش یافته است. مقایسه رنگبری بنتونیت آسیا شده و بنتونیت اسیدی شده نشان داد که در هر دو روش قدرت رنگبری به تقریب یکسان و زیاد است. البته می‌توان انتظار داشت که نمونه‌های بنتونیت معدن‌های دیگر که همانند نمونه بنتونیت مورد آزمایش باشند در این مورد نتیجه‌های یکسانی داشته باشند. البته نقش میزان و نوع مونتموریولونیت از نقش میزان و نوع ناخالصی‌ها به مراتب بیشتر خواهد بود. بنابراین می‌توان نتیجه گرفت روش آسیاکنی گلوله‌ای می‌تواند به عنوان روشی ساده‌تر جایگزین روش معمول فعال‌سازی اسیدی برای تولید خاک رنگبر در یک شکل آزمایشگاهی در نظر گرفته شود.

تاریخ دریافت: ۱۷/۶/۱۳۹۰؛ تاریخ پذیرش: ۱۱/۱/۱۳۹۱

مرحله‌های گوناگونی از قبیل خرد کردن، آسیا کردن، واکنش با اسید، فیلتر کردن، شستشو دادن، خشک کردن و آسیایی مجدد و بسته‌بندی می‌باشد [۴] در نتیجه استفاده از آسیایی گلوله‌ای با انرژی زیاد باعث کاهش مراحل تولید و در نتیجه کاهش هزینه‌ها می‌شود. این موردها نشان می‌دهند که روش آسیایی گلوله‌ای با ایجاد شرایط مناسب و رعایت پارامترهای آزمایشگاهی در مقیاس صنعتی می‌تواند یک روش جدید و آسان برای تولید خاک رنگبر باشد.

### نتیجه‌گیری

آسیاکنی گلوله‌ای با انرژی زیاد باعث تغییر گستره‌های در ساختمان بلوری بنتونیت شده است. همچنین آسیا کنی گلوله‌ای موجب کاهش اندازه ذره‌های بنتونیت شده و بدین ترتیب سطح

### مراجع

- [۱] کریم پور، م.ح، "کانی‌ها و سنگ‌های صنعتی"، دانشگاه فردوسی مشهد، (۱۳۷۸).
- [۲] Grim R.E., "Clay Mineralogy", McGraw-Hill Book Company, (1968).
- [۳] Grim R.E., Guven N., "Bentonites: Geology, Mineralogy, Properties and Uses", Elsevier, Amsterdam, (1978).
- [۴] شعبانی، ا.، تهییه و تولید خاک رنگبر، نشریه شیمی و مهندسی شیمی ایران، (۲) ۱۷، ص. ۱۱۰-۱۳۷۷.
- [۵] Diaz F.R.V., Santos P.D.S., Studies on the Acid Activation of Brazilian Smectite Clays, *Quim. Nova*, **24**, No. 3, P.345 (2001).
- [۶] Noyan H., Onal M., Sarıkaya Y., The Effect of Sulphuric Acid Activation on the Crystallinity, Surface Area, Porosity, Surface Acidity, and Bleaching Power of a Bentonite, *Food Chemistry*, **105**, p. 156 (2007).
- [۷] Christidis G. E., Scott P. W., Dunham A. C., Acid Activation and Bleaching Capacity of Bentonite from the Island of Milos and Chios, Aegean Greece, *Applied clay science*, **12**, p. 329 (1997).
- [۸] Nguentkam J. P., Kamgac R., Villiéras F., Assessment of the Surface Areas of Silica and Clay in Acid-Leached Clay Materials using Concepts of Adsorption on Heterogeneous Surfaces, *Journal of Colloid and Interface Science*, **289**, p.104 (2005).
- [۹] Önal M., Sarıkaya Y., Preparation and Characterization of Acid-Activated Bentonite Powders, *Powder Technology*, **172**, p. 14 (2007).
- [۱۰] Gates W. P., Anderson J. S., Raven M. D., Churchman G. J., Mineralogy of a Bentonite from Miles, Queensland, Australia and Characterization of Its Acid Activation Products, *Applied Clay Science*, **20**, p.189 (2002).

- [11] Zhansheng WU., Chun LI., Characterization, Acid Activation and Bleaching Performance of Bentonite from Xingjian, *Chinese J. Chem. Eng.*, **14**, p.253 (2006).
- [12] Suraj G., Iyer C.S.P., Rugmini S., Lalithambika M., The Effect of Micronization on Kaolinites and Their Sorption Behavior, *Applied Clay Science*, **12**, p.117 (1997) .
- [13] Dellisanti F., Valdrè G., Mondonico M., Changes of the Main Physical and Technological Properties of Talc Due to Mechanical Strain, *Applied Clay Science*, **42**, p.398 (2009).
- [14] Hrachová J., Komadel P., The Effect of Mechanical Treatment on the Structure of Montmorillonite, *Materials Letters*, **61**, p.3361(2007).
- [15] Dellisanti F., Valdre G., Study of Structural Properties of Ion Treated and Mechanically Deformed Commercial Bentonite, *Applied Clay Science*, **28**, p.233 (2005).
- [۱۶] طهمورسی، م، ابراهیمی، ع، صرافی، ا، جداسازی مونتموریلونیت از بتونیت نوع سدیمی و کلسیمی، نشریه علوم و مهندسی جداسازی، (۲)، ص. ۴۵ (۱۳۸۹).
- [۱۷] طهمورسی، م، صرافی، ا، حسینی، س.م، ص، ارزیابی بتونیت‌های استان کرمان، نشریه شیمی و مهندسی شیمی ایران، (۲۹)، ص. ۹۱ (۱۳۸۹).